

**RESEARCH PAPER****OPEN ACCESS****Bioinformatics investigation of expression changes of abomasal gene transcripts to *Haemonchus contortus* infection in resistant and sensitive sheep**

R. Seighalani<sup>1\*</sup>, H. Samizadeh Lahiji<sup>2</sup>, F. Rafeie<sup>3</sup>, M. Mottaghitalab<sup>4</sup>, M. Galin Sharifdini<sup>5</sup>

1. Ph.D. Student, Department of Agricultural Biotechnology, Faculty of Agricultural Sciences, University of Guilan, Rasht, Iran
2. Professor, Department of Agricultural Biotechnology, Faculty of Agricultural Sciences, University of Guilan, Rasht, Iran
3. Assistant Professor, Department of Agricultural Biotechnology, Faculty of Agricultural Sciences, University of Guilan, Rasht, Iran
4. Professor, Department of Animal Science, Faculty of Agricultural Sciences, University of Guilan, Rasht, Iran
5. Associate Professor, Department of Medical Parasitology and Mycology, School of Medicine, Guilan University of Medical Science, Rasht, Iran

(Received: 01-05-2022 – Accepted: 27-07-2022)

**Introduction:** Gastrointestinal nematodes (GIN) represent a major health issue for livestock production systems worldwide. *Haemonchus contortus* is one of the most pathogenic GIN in small ruminants and causes serious losses to farmers, both in impaired production and in control with anthelmintics. It has long been recognized that differences in host resistance and susceptibility to parasitic infection exist in various sheep breeds and that genetics may play an important role in regulating host resistance, which has spurred efforts to control parasitic infection through selective breeding for naturally resistant sheep. A detailed understanding of the genes and mechanisms involved in expressing a resistant phenotype and the factors that regulate this response would facilitate the identification of candidate genes for selection. Recent advances in high-throughput technology, such as microarrays and RNA sequencing, have made a large number of transcriptome data accessible. As a result, researchers are now able to obtain more reliable results by integrating information from multiple sources. Accordingly, meta-analysis can be used as a useful and powerful tool to identify differential gene expression. It can also find out genes that their products are key molecules in response to the infection and use in animal breeding programs. The purpose of this study was to conduct a systematic review and meta-analysis on data collected from infected sheep with *H. contortus* and general analysis of changes in abomasal gene transcripts in response to infection using RNA-seq technology and bioinformatics tools.

**Materials and methods:** In this study, to identify infection-related genes, pathways, and molecular mechanisms underlying host resistance to this parasite, a meta-analysis was performed by combining two different datasets, including 70 samples of sheep *H. contortus* infection with Rankprod package of R software. After pre-processing, to remove heterogeneity across studies, batch effect correction was performed on gene expression data. The result of the principal component analysis showed that batch correction reduced the batch variation among the datasets. Meta-analysis was carried out and DEGs selected by meta-analysis were further analyzed and characterized. Enrichment analysis, as an efficient method for functional analysis of massive genetic data, was used to determine the biological process, molecular function, and cellular component of DEGs. Moreover, we searched upstream regions of DEGs for over-represented DNA motifs and functional analysis of discovered motifs. To explore the potential interaction network of the DEGs, the protein-protein interaction network among the DEGs was analyzed using the STRING database, which included direct and indirect associations of proteins. After analyzing the result derived from STRING analysis and expression change information for each DEG, the network figure was drawn

\* Corresponding author: rseighalani@yahoo.com



for the selected DEGs (connected with one or more DEGs) by using the Cytoscape software and hub genes identified with the CytoHubba plugin of Cytoscape.

**Results and discussion:** Results derived from the meta-analysis showed a total of 1388 differentially expressed genes between resistant and susceptible sheep. Among them, 1137 were significantly upregulated, whereas 251 were downregulated across the datasets. In the identified DEGs, DEGs corresponding to ribosomal protein S3A, lysozyme C-1-like (LOC443320), and heterogeneous *nuclear ribonucleoprotein K* were the most strongly upregulated ones, while tenascin C and fibromodulin were the most strongly downregulated. Results from enrichment analysis showed these differentially expressed genes (DEGs) were involved in different biological processes such as one-carbon metabolism, translation, cell surface receptor signaling pathway, immune response, metabolic pathways, PPAR signaling pathway, etc. Moreover, searching in upstream regions of DEGs to find DNA motifs, were able to identify eight conserved sequence motifs. The functional analysis of these motifs revealed that they were involved in the positive regulation of gene expression, defense response, positive regulation of immune response, cellular calcium ion homeostasis, etc. Using the protein-protein interaction analysis also identified multiple hub genes such as albumin and CD4 which may show that improved immune response, induced by up-regulation different genes affects the creation of resistance.

**Conclusions:** The mechanisms of sheep resistance to GIN infections involve complex immune responses. Our results offered overall insight into changes in the transcriptomes of resistant and susceptible sheep and molecular mechanisms of host resistance induced by *H. contortus* infection. We propose these DEGs as a useful resource of molecular biomarkers and potential candidate genes for breeding programs which can provide a basis for further research on this topic.

**Keywords:** Differential expression, RNA-seq analysis, Meta-analysis, Gene ontology

**Ethics statement:** This article does not contain any studies with human participants or animals performed by any of the authors.

**Data availability statement:** The data that support the findings of this study are available on request from the corresponding author.

**Conflicts of interest:** The authors declare no conflicts of interest.

**Funding:** The authors received no specific funding for this project.

**How to cite this article:**

Seighalani R., Samizadeh Lahiji H., Rafeie F., Mottaghitalab M. and Galin Sharifdini M. 2022. Bioinformatics investigation of expression changes of abomasal gene transcripts to *Heamonchus contortus* infection in resistant and sensitive sheep. Animal Production Research, 11(4): 61-75. doi: 10.22124/AR.2023.22217.1700



### مقاله پژوهشی

## بررسی بیوانفورماتیکی تغییرات بیان رونوشت ژن‌های شیردان به آلودگی انگل در گوسفندان مقاوم و حساس *Heamonchus contortus*

رامین صیقلانی<sup>۱\*</sup>، حبیب الله سمیع زاده لاهیجی<sup>۲</sup>، فرجاد رفیعی<sup>۳</sup>، مجید متقی طلب<sup>۴</sup>، میثم گلین

شریف‌دینی<sup>۵</sup>

- ۱- دانشجوی دکتری، گروه بیوتکنولوژی کشاورزی، پردیس دانشگاهی، دانشگاه گیلان
- ۲- استاد، گروه بیوتکنولوژی کشاورزی، دانشکده علوم کشاورزی، دانشگاه گیلان
- ۳- استادیار، گروه بیوتکنولوژی کشاورزی، دانشکده علوم کشاورزی، دانشگاه گیلان
- ۴- استاد، گروه علوم دامی، دانشکده علوم کشاورزی، دانشگاه گیلان
- ۵- دانشیار، گروه انگل شناسی و قارچ شناسی پزشکی، دانشکده پزشکی، دانشگاه علوم پزشکی گیلان

(تاریخ دریافت: ۱۴۰۱/۰۲/۱۱ - تاریخ پذیرش: ۱۴۰۱/۰۵/۰۵)

چکیده

هدف از این مطالعه، انجام یک بررسی سیستماتیک و متأنالیز داده‌های جمع آوری شده از گوسفندان آلوده شده با *Heamonchus contortus* به عنوان یکی از مهمترین و بیماری‌زاترین انگل‌های دستگاه گوارش گوسفند و تجزیه و تحلیل کلی تغییر در رونوشت ژن‌های شیردان در پاسخ به این عفونت با استفاده از فناوری RNA-seq و ابزارهای بیوانفورماتیک بود. به منظور شناسایی ژن‌ها و مسیرهای مرتبط با عفونت، متأنالیز با ترکیب مجموعه داده‌های مختلف عفونت *Heamonchus contortus* گوسفند با استفاده از بسته رنک پراد نرم افزار R انجام شد و نتایج بدست آمده برای استحصال اطلاعات بیشتر مورد تجزیه و تحلیل‌های پائین‌دستی قرار گرفتند. نتایج حاصل از متأنالیز نشان داد که در مجموع، ۱۳۸۸ ژن بین نژادهای مقاوم و حساس دارای بیان افتراقی (DEG) بودند. مطابق با نتایج حاصل از تجزیه و تحلیل هستی‌شناسی ژن و دانشنامه کیوتی ژن‌ها و ژنومها (KEGG)، این ژن‌های دارای بیان افتراقی (DEG) در فرآیندهای زیستی متعددی مانند سوخت و ساز واحدهای یک کربنی، ترجمه، مسیر سیگنالینگ رسپتور سطح سلولی، پاسخ ایمنی، مسیرهای متابولیکی و ... درگیر بودند. با استفاده از تجزیه و تحلیل برهمکنش پروتئین-پروتئین، ژن‌های هاب متعددی مانند آلبومین و CD4 شناسایی شدند که ممکن است نشان دهد بهبود پاسخ ایمنی ناشی از افزایش بیان ژن‌های مختلف در ایجاد مقاومت تأثیر می‌گذارد. نتایج این مطالعه، بینشی کلی از تغییرات در ترانسکریپتوم نژادهای مقاوم و حساس گوسفند و ساز و کارهای مولکولی مقاومت میزان در نتیجه عفونت *Heamonchus contortus* ارائه می‌دهد که می‌تواند مبنایی برای تحقیقات بیشتر در مورد این موضوع فراهم نماید.

واژه‌های کلیدی: بیان افتراقی، RNA-seq، متأنالیز، هستی‌شناسی ژن‌ها

\* نویسنده مسئول: rseighalani@yahoo.com

doi: 10.22124/AR.2023.22217.1700

## مقدمه

GIN فراهم کرده است (Andersson, 2012). تجزیه ترانسکریپتوم روشنی قدرتمند برای شناسایی و تعیین کمیت ژن‌های بیان شده طی یک اختلال فیزیولوژیک است. مطالعات متعددی برای مشخص کردن تغییر در میزان Diez-Tascon *et al.*, (2005)، رونوشت ژن‌های موجود در دوازدهه (Rowe *et al.*, 2005; Keane *et al.*, 2007)، مخاط شیردان (Knight *et al.*, 2009; Andronicos *et al.*, 2010; Gossner *et al.*, 2011) لتفاوی (Andronicos *et al.*, 2010; Gossner *et al.*, 2011) انجام شده است که منجر به شناسایی ژن‌ها و فرآیندهای زیستی مرتبط با پاسخ میزان به GIN شده است. در نهایت، این مطالعات منجر به شناسایی تعدادی از مسیرها شده است که در ایجاد فنوتیپ مقاوم نقش دارند. هدف از این مطالعه، انجام بررسی سیستماتیک و متانالیز داده‌های جمع‌آوری شده از گوسفندان آلووده شده با *H. contortus* و تجزیه و تحلیل کلی تغییر در رونوشت ژن‌های شیردان در پاسخ به این عفونت با استفاده از فناوری RNA-seq و ابزارهای بیوانفورماتیک است، که منجر به شناسایی ژن‌های با بیان متفاوت در میزان در پاسخ به چالش ایجاد شده می‌شود و به شناخت بیشتر ساز و کارهای مولکولی مقاومت در برابر عفونت کمک می‌نماید. نتایج حاصل از این مطالعه منجر به شناسایی ژن‌های کاندید و یافته‌های ارزشمندی می‌شود که فرضیه‌های کاری برای تحقیقات آینده را فراهم می‌نماید.

## مواد و روش‌ها

جمع‌آوری داده، پیش پردازش و متانالیز: فرا داده (Metadata) و فایل‌های خام توالی یابی شده مرتبط با *Haemonchus contortus* با انگل خون‌خوار آلوودگی شیردان گوسفند با SRA access number PRJNA445172 و PRJNA268183 از سایت EMBL-EBI دانلود شدند. تجزیه RNA-seq برای بدست آوردن ژن‌هایی با بیان افتراقی (DEG) با استفاده از نرم افزار CLC genomics workbench نسخه ۱۲ انجام شد. در مرحله اول، خوانش‌های توالی یابی شده خام با استفاده از FastQC (<http://www.bioinformatics.bbsrc.ac.uk/projects/fas/>) بررسی شدند. تجزیه کنترل کیفیت شامل محتوای .base coverage، Phred score، GC over-represented و nucleotide contributions

عفونت‌های ایجاد شده به وسیله نماتدهای دستگاه گوارش (GIN:Gastrointestinal nematode) به عنوان تهدیدی محدودیت‌های اقتصادی در تولید نشخوارکنندگان کوچک شناخته می‌شوند (Vijayasarathi *et al.*, 2016)، که عمدتاً دام‌های چرا کننده در سراسر جهان و به ویژه کشورهای در حال توسعه را تحت تأثیر قرار می‌دهند. نمات خون‌خوار (*Haemonchus contortus*) نمات اصلی شایع در مناطق مرطوب و نیمه مرطوب که به عنوان انگل هم‌اتوفاژ نیز شناخته می‌شود) یکی از مهمترین و بیماری‌زاترین انگل‌های دستگاه گوارش گوسفند است (Benavides *et al.*, 2015). این انگل خون‌خوار در شیردان میزان ساکن است و مسئول کاهش وزن، کم خونی و کاهش عملکرد است (*Miller et al.*, 1998). از نظر اقتصادی نیز *Haemonchus contortus* مهمترین نماند دستگاه گوارش است که صدها میلیون نشخوارکننده کوچک را در سراسر جهان آلووده می‌کند (Gasser *et al.*, 2016). در ۵۰ سال گذشته، راهبردهای کنترل عمدتاً مبتنی بر استفاده از داروهای ضد انگل بوده است، اما متأسفانه، فشار انتخاب ایجاد شده در اثر استفاده مکرر از آن‌ها منجر به توسعه سریع مقاومت ضد انگل در جمیعت‌های GIN در سراسر جهان شده است (Dolinská *et al.*, 2014; Geurden *et al.*, 2014) عبارت دیگر، وجود مقاومت ضد انگل، استفاده از داروهای ضد انگل برای کنترل GIN را ناپایدار کرده است (McManus *et al.*, 2014). عاملی که به ناپایداری بیشتر استفاده از داروهای ضد انگل کمک می‌کنند، هزینه بالای داروها (Mpetile *et al.*, 2015)، نگرانی مصرف کننده در (Vijayasarathi *et al.*, 2016) مورد آثار احتمالی باقی‌مانده (Bath, 2014) و گران بودن ساخت داروهای ضد انگل جدید و مؤثر (Chagas *et al.*, 2016) است. بنابراین نیاز به راهبردهای مدیریت واقع‌بینانه، پایدارتر و مقرن به صرفه‌تر این نماتدها وجود دارد.

مشخص شده است تغییرات فنوتیپی القا شده به وسیله عامل بیماری‌زا، همواره با تغییرات قابل توجه بیان ژن در میزان همراه بوده است. پیشرفت‌های اخیر در تحقیقات ژنومی، ابزارهایی برای کشف عوامل ژنتیکی کنترل کننده تنوع فنوتیپی در صفات پیچیده از جمله مقاومت در برابر

موتیفها را با هم مقایسه می‌کند و جدولی را که بر اساس مقدار ۹ مرتب شده است تولید می‌کند که به معنای وجود کمترین تعداد تطابق کاذب در بین موتیفها است. ابزار GOMo (<http://meme-suite.org/tools/gomo>) برای شناسایی نقش‌های ممکن برای موتیفها مورد استفاده قرار گرفت (Buske *et al.*, 2010).

ساخت شبکه برهمنکش پروتئین-پروتئین (PPI)، تجزیه کلستر و شناسایی ژن‌های کلیدی: برای شناسایی ارتباط میان DEG‌های کد کننده پروتئین‌ها، یک شبکه PPI با استفاده از پایگاه داده برشط STRING نسخه 11.5 Szklarczyk *et al.*, (https://string-db.org) ساخته شد (2019). به منظور دستیابی به یک شبکه برهمنکش پروتئین-پروتئین قوی، confident interaction score روی عدد بزرگ تر و مساوی  $\frac{1}{4}$  تنظیم شد و گره‌های بدون ارتباط نیز پنهان شدند. برای مصورسازی شبکه‌های PPI و تجزیه ژن‌های هاب، نرم افزار Cytoscape نسخه 3.9.0 (https://www.cytoscape.org) مورد استفاده قرار گرفت (Shannon *et al.*, 2014). دو روش محاسبه closeness و stress منظور دستیابی به ۱۰۰ ژن هاب موجود در شبکه PPI ساخته شده، مورد استفاده قرار گرفتند. علاوه بر این، یک دن دیاگرام برای شناسایی ژن‌های هاب مهم که بین دو روش محاسبه مشابه بودند، مورد استفاده قرار گرفت. بر مبنای gene score، Cytoscape (plugin-MCL cluster MCL cluster) گرفتند. همچنین از پلاگین (plugin-MCL cluster) برای یافتن کلسترها دارای ارتباط بالا و معنی‌دار در درون شبکه PPI استفاده شد. Edge cut off روی Array source به صورت پیش فرض حفظ شد. علاوه بر این، وب سرور DAVID برای پیش‌بینی نقش ژن‌های هاب و هستی-شناسی ژن کلسترها ایجاد شده مورد استفاده قرار گرفت.

جزئیه توزیع DEG‌ها در موقعیت‌های کروموزومی؛ موقعیت ژنومی DEG‌ها روی تمامی کروموزوم‌ها با استفاده از Circos plot، به وسیله یک وب سرویس برشط که به صورت رایگان در <http://clicofs.codoncloud.com> در دسترس است، ساخته شد.

FastQC روی فایل‌های sequences parameters انجام شد (Cánovas *et al.*, 2014). بعد از انجام کنترل کیفیت، خوانش‌های توالی‌بایی شده در برابر رفرنس ژنوم-annotated Oar\_v3.1.84 ovine fragment per kilo base (FPKM) به مقادیر (per million mapped reads) نرمال‌سازی شدند. تجزیه بیان افتراقی با استفاده از بسته Rnkd پرداز در نرم افزار R انجام شد. برای تعیین معنی‌دار بودن بیان افتراقی از لحاظ آماری،  $P\text{-value} < 0.05$  و  $P\text{-value} \leq 0.05$  (FDR) به عنوان حد آستانه برای DEG‌های معنی‌دار در نظر گرفته شد.

جزئیه هستی‌شناسی ژن (GO) و غنی‌سازی مسیر (KEGG): تجزیه و تحلیل هستی‌شناسی ژن به عنوان یک سیستم استاندارد بین‌المللی طبقه‌بندی کارکردی ژن در این مطالعه به منظور توصیف ویژگی ژن‌ها و فرآورده آن‌ها مورد استفاده قرار گرفت. DEG‌ها از نظر عملکردی در سه حوزه هستی‌شناسی گروه‌بندی شدند: (فرآیندهای زیستی، اجزای سلولی و فرآیندهای مولکولی). هستی‌شناسی ژن 6.8 DAVID نسخه (GO) با استفاده از وب سرور برشط (<http://david.abcc.ncifcrf.gov/>) انجام شد. تمامی اصطلاحات هستی‌شناسی ژن غنی شده‌ای که  $P < 0.05$  داشتند نمایش داده شدند. تجزیه غنی‌سازی مسیر KEGG Huang *et al.*, (2009) با استفاده از وب سرور DAVID انجام شد (al., 2009) و مسیرهای با  $P < 0.05$  به عنوان مسیرهای معنی‌دار در نظر گرفته شدند.

جزئیه پروموترباز از نواحی بالادست DEG‌ها از پایگاه داده Ensembl Genome Browser استخراج شد (<https://asia.ensembl.org/index.html>). جستجو به منظور یافتن موتیف‌های حفاظت شده در توالی پروموترباز DEG‌ها با استفاده از MEME 5.4.1 (meme.nbcr.net/meme/intro.html) انجام شد. بیشترین تعداد موتیف‌ها روی ۲۰ و بقیه فرانسنجه‌ها بر روی حالت پیش‌فرض تنظیم شدند (Bailey *et al.*, 2009). ابزار http://meme-TOMTOM (<http://meme.suite.org/tools/tomtom>) نسخه 5.4.1 نیز به منظور مقایسه موتیف‌های معنی‌دار حاصل از خروجی MEME با موتیف‌های شناخته شده موجود در پایگاه داده JASPAR E-value  $< 10^{-5}$  CORE 2018 Vertebrate مورد استفاده قرار گرفت (Khan *et al.*, 2018). این ابزار

## نتایج و بحث

رونویسی خاتمه می‌یابد. تغییرات ساختاری ایجاد شده در دومین‌های سیتوپلاسمی رسپتورها در پی اتصال لیگاندها به آن‌ها سبب اعطای فعالیت آنزیمی به آن‌ها می‌شود (معمولًاً یک فعالیت کینازی که می‌تواند از ATP برای فسفریله نمودن پروتئین‌ها شامل خود مولکول رسپتور استفاده نماید)، سپس رسپتور فعال شده می‌تواند واکنش‌هایی که دیگر پروتئین‌ها را فسفریله می‌نمایند کاتالیز نماید و این فسفریلاسیون به نوبه خود، فعالیت‌های نهفته آن‌ها را فعال می‌کند. در نهایت، آبشار فسفریلاسیون یک عامل رونویسی خاموش را که مجموعه‌ای از زن‌ها را فعال (یا سرکوب) می‌نماید، فعال می‌کند (Hilger *et al.*, 2018). با توجه به آن که رسپتورهای غشا و ترارسان سیگنانل‌های مرتبط با آن‌ها ممکن است در برخی از بیماری‌ها به عنوان نتیجه‌ای از ساز و کارهای سازگاری یا maladaptive مشارک Ulloa *et al.*, 2017). فعال بودن تعداد زیادی از زن‌های دارای بیان افتراقی شناسایی شده به وسیله متآنالیز، در مسیر سیگنانالینگ رسپتور سطح سلولی که در نتیجه تحریک یک عامل خارجی (حمله انگل در مطالعه موردنظر) رخ داد، ممکن است سبب فعال‌سازی یا ماندگار شدن یک پاسخ ایمنی شود. تجزیه و تحلیل هستی‌شناسی زن در حوزه عملکرد مولکولی نشان داد بیشتر GO‌های غنی شده در دسته عملکرد مولکولی شامل اتصال به ATP، یون کلسیم، ریبوزوم و ... بودند، بنابراین می‌توان نتیجه‌گیری نمود که بیشتر رونوشت‌های دارای بیان افتراقی شناسایی شده در دسته مولکولی در این مطالعه، عملکرد خود را با اتصال به مولکول‌های هدف اعمال می‌کنند (شکل ۱). در حوزه اجزای سلولی مشخص شد که DEG‌ها عمدها در فضای خارج سلولی، دستگاه گلزاری، سیتوزول و ... قرار دارند. علاوه بر این، با هدف شناسایی مسیرهای مهم، تجزیه غنی‌سازی KEGG روی DEG‌ها انجام شد. در تجزیه و تحلیل مسیر KEGG روی DEG‌ها انجام شد. در تجزیه و تحلیل غنی‌سازی مسیر KEGG، ۱۷ مسیر که به طور معنی‌داری غنی شدند، شناسایی شدند. برترین این مسیرها شامل GIN در گوسفند مقاوم که روی نمونه‌های غدد لنفاوی شیردان انجام شد، نیز غنی‌سازی معنی‌دار مسیر PPAR signaling pathway و PPAR متابولیکی (Bionaz *et al.*, 2013) (شکل ۲). نتایج حاصل از تجزیه و تحلیل غنی‌سازی انجام شده روی ۷۱ DEG افزایش تنظیم‌یافته فعال شده به وسیله GIN در گوسفند مقاوم که روی نمونه‌های غدد لنفاوی شیردان انجام شد، نیز غنی‌سازی معنی‌دار مسیر PPAR signaling را نشان داد (Bionaz *et al.*, 2013).

تجزیه و تحلیل داده‌ای RNA-seq و بیان افتراقی: با توجه به محدودیت تعداد تکرارهای زیستی، مطالعات انفرادی نمی‌توانند نگرش جامعی از پاسخ به بیماری‌ها ایجاد نمایند. بنابراین یکی کردن آزمایشات مستقل با استفاده از متآنالیز این فرصت را فراهم می‌آورد که قدرت آماری شناسایی زن-هایی که تفاوت بیانی نشان می‌دهند را بهبود بخشیم (Salehinasab *et al.*, 2018). در این مطالعه، دو مجموعه SRA access number PRJNA445172 و PRJNA268183 داده با شماره پروژه‌های ۷۰ نمونه وارد و مورد تجزیه و تحلیل قرار گرفتند. نتایج حاصل از متآنالیز ۱۳۸۸ زن با بیان افتراقی (DEGs)، از جمله ۲۵۱ زن-down-regulate و ۱۱۳۷ زن up-regulate بود. این مشاهدات بیانگر آن هستند که در زمان عفونت، تعداد زیادی از زن-های درگیر در فرآیندهای زیستی دچار تغییرات بیان می‌شوند تا به حیوان در پشت سر نهادن شرایط دشوار نمایند. در نهایت، زن‌های با بیان افتراقی شناسایی شده، مورد تجزیه و تحلیل‌های پائین دستی قرار گرفتند. هستی‌شناسی زن (GO) و غنی‌سازی مسیر (KEGG): برای دستیابی به بیشتر در مورد روند کلی عملکرد DEG‌ها، تجزیه و تحلیل هستی‌شناسی زن (GO) متنی بر آزمون‌های غنی‌سازی با طبقه‌بندی عملکرد DEG‌ها به سه دسته عملکردی اصلی (فرآیندهای زیستی، عملکرد مولکولی و اجزای سلولی) با جستجوی DAVID نسخه‌ی 6.8 با E-value threshold ۰.۰۵ انجام شد. تجزیه و تحلیل هستی‌شناسی زن نشان داد که DEG‌ها در ۱۳ دسته فرآیند زیستی غنی شدند که بالاترین اصطلاحات GO غنی شده شامل سوخت و ساز واحدهای یک کربنی، ترجمه، مسیر سیگنانالینگ رسپتور سطح سلولی، پاسخ ایمنی، تنظیم مثبت تکثیر سلولی و ... بودند (شکل ۱). یکی از مسیرهای زیست‌شناسی مولکولی که زن‌های دارای بیان افتراقی در این مطالعه در آن فعال بودند، مسیر سیگنانالینگ رسپتور سطح سلولی بود. این مسیر شامل مجموعه‌ای از سیگنانلهای مولکولی ایجاد شده به وسیله فعال‌سازی رسپتور یا گیرنده بر سطح یک سلول است که با اتصال یک لیگاند خارج سلولی به یک رسپتور در سطح سلول شروع می‌شود و در نهایت با تنظیم فرآیندهای سلولی پایین دست مانند

تجزیه پرومومتر ۱۵۰۰ جفت باز از نواحی بالا دست DEG‌ها برای یافتن موتیف‌های حفاظت شده و عناصر تنظیمی سیس (CRE) مورد تجزیه و تحلیل قرار گرفت. خروجی MEME مجموعه‌ای از هشت موتیف معنی‌دار با طولی مابین ۲۲ تا ۲۵۴۹ جفت باز در پرومومتر DEG‌ها بود. موتیف ۱ و ۲ به ترتیب در ۳۳۱ و ۳۲۰ تا از DEG‌های به دست آمده از متا آنالیز یافت شدند. بعد از مقایسه هر یک از موتیف‌های معنی‌دار یافت شده در پرومومتر DEG‌ها با جایگاه‌های شناخته شده اتصال عوامل رونویسی با استفاده از ابزار TOMTOM، ۱۳ خانواده از عوامل رونویسی از مجموع ۱۳۱ (مجموع تطابق‌های تمام) موتیف دارای تطابق شناسایی شد که بیشتر موتیف‌های یافت شده که به عنوان CRE شناخته شدند، به وسیله دومین‌های C<sub>2</sub>H<sub>2</sub> دارای همبستگی بالایی با خانواده عوامل رونویسی C<sub>2</sub>H<sub>2</sub> zinc finger factor بودند (شکل ۳).

هسته‌ای (NR)، از جمله PPAR‌ها، یک خانواده عامل رونویسی شامل ۴۹ تا ۴۷ عضو را تشکیل می‌دهند (Zhang et al., 2004). فعالیت NR امکان کنترل طولانی‌مدت (ساعت‌ها تا روزها) سوخت و ساز را فراهم می‌کند زیرا آن‌ها می‌توانند بر بیان mRNA ژن‌های هدف، از جمله آنزیم‌های متابولیکی، تأثیر بگذارند. بنابراین، NR یک سیستم تنظیمی مهم در سلول‌ها، بافت‌ها و اندام‌ها است که نقش کلیدی در هماهنگی سوخت و ساز کل موجود زنده ایفا می‌نماید. PPAR‌ها به وسیله اسیدهای چرب طبیعی یا مشتقهای اسیدهای چرب (مانند ایکوزانوئیدها) فعال می‌شوند و نقش فیزیولوژیکی حیاتی در تنظیم فرآیندهای زیستی متعدد از جمله سوخت و ساز لیپید، گلوکز و هموستانزی کلی انرژی دارند (Bionaz et al., 2013). مسیر سیگنالینگ PPAR، تمایز سلولی، تعادل انرژی و سوخت و ساز لیپید را تنظیم می‌کند (Gross et al., 2017).

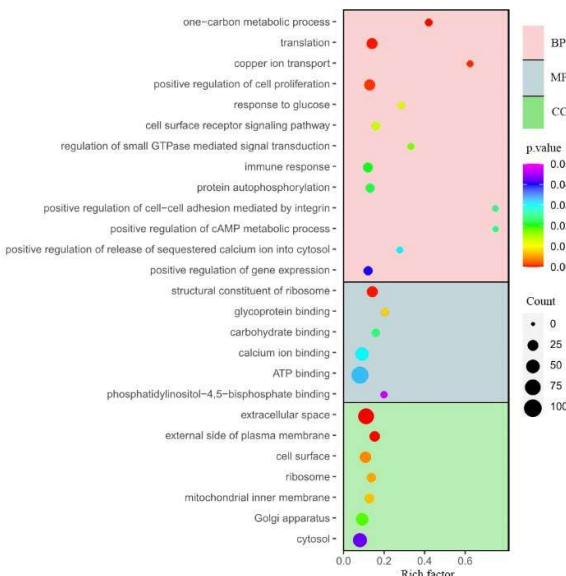


Fig. 1. Scatter plot of enriched Go terms. The vertical axis represents the enriched GO terms in biological process (BP), molecular function (MF), and cellular component (CC), and horizontal axis represents the rich factor of each GO terms. Rich factor refers to the ratio of the number of DEGs enriched in certain GO terms to the number of annotated genes. The greater the value is, the higher the DEGs enrichment degree. The size of dots indicates the number of DEGs enriched in certain term, and the color of the dots corresponds to the range of the *P*-value.

شکل ۱- اسکترپلات مسیرهای GO غنی شده. محور عمودی بیانگر مسیرهای GO غنی شده در فرآیند زیستی (BP)، عملکرد مولکولی (MF)، جزء سلولی (CC) و محور افقی نشان‌دهنده Rich factor هر مسیر GO است. به نسبت تعداد DEG‌های غنی شده در مسیرهای GO خاص به تعداد کل ژن‌های GO annotate شده در آن مسیر است. هر چه مقدار عددی آن بیشتر باشد، درجه غنی‌سازی DEG‌های غنی شده در مسیرهای خاص DEG بالاتر است. اندازه نقطه‌ها تعداد DEG باشد، درجه غنی‌سازی DEG بالاتر است. اندازه نقطه‌ها تعداد DEG باشد، درجه غنی‌سازی DEG بالاتر است. رنگ نقطه‌ها با محدوده *P*-value مطابقت دارد.

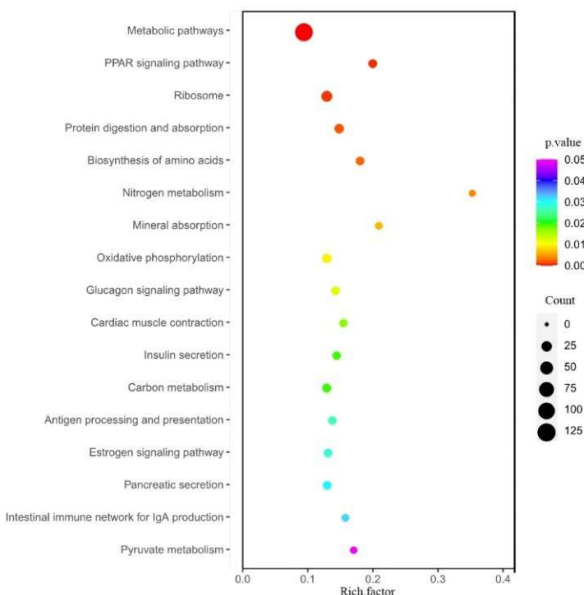


Fig. 2. Scatter plot of enriched KEGG pathways. The vertical axis represents the enriched KEGG pathways and horizontal axis represents the rich factor of each KEGG pathway. Rich factor refers to the ratio of the number of DEGs enriched in certain KEGG pathway to the number of annotated genes. The greater the value is, the higher the DEGs enrichment degree. The size of dots indicates the number of DEGs enriched in certain pathway, and the color of the dots corresponds to the range of the *P*-value.

شکل ۲- اسکریپلات مسیرهای KEGG غنی شده. محور عمودی بیانگر مسیرهای KEGG غنی شده و محور افقی نشان‌دهنده تعداد DEG های غنی شده در مسیرهای KEGG خاص به تعداد کل زن‌های annotate شده در آن مسیر است. هر چه مقدار عددی آن بیشتر باشد، درجه غنی‌سازی DEG بالاتر است. اندازه نقاط، تعداد DEG های غنی شده در مسیرهای خاص را نشان می‌دهد و رنگ نقطه‌ها با محدوده *P*-value مطابقت دارد.

تحت کنترل تنظیمی مشترک هستند یا خیر، تجزیه و تحلیل نواحی پرومومتری DEG ها انجام شد. با توجه به نتایج بدست آمده مشخص شد عوامل رونویسی اصلی تنظیم C<sub>2</sub>H<sub>2</sub> zinc، finger factor (شکل ۳)، خانواده انگشت روی C<sub>2</sub>H<sub>2</sub>، دسته بزرگی از عوامل رونویسی در ژنوم پستانداران و تنظیم کننده‌های کلیدی رونویسی در سلول‌های ایمنی هستند (Brayer and Segal, 2008). گزارش شده است بسیاری از عوامل رونویسی انگشت روی در تعدیل و تنظیم Fu and Blackshear، 2017) (Brayer and Segal, 2008). انگشت روی‌ها نقش‌های متعددی در بسیاری از مسیرهای سیگنالینگ سلولی نیز ایفا می‌کنند، به طوری که تمامی ایزوفرم‌های پروتئین کیناز C حاوی حداقل یک توالی انگشت روی هستند و در بسیاری از موارد، این دومین‌ها مسئول اتصال به دی اسیل گلیسرول هستند (Zhao et al., 2010). دسته خاصی از انگشت روی‌ها نیز در تنظیم مسیرهای سیگنالینگ سلول‌های ایمنی نقش دارند

تجزیه GOMo برای موتیفهای شناسایی شده به وسیله MEME بیانگر وجود نقش‌های زیستی جذاب متعددی برای DEG ها بود (جدول ۱). هستی شناسی زن بیانگر آن بود که این موتیف‌ها در تنظیم بیان زن، تنظیم مثبت پاسخ ایمنی، پاسخ دفاعی، هموستازی یون کلیسم و ... مشارکت می‌نمایند. علاوه بر این، این موتیف‌ها در نقش‌های مولکولی مانند فعالیت عوامل رونویسی، فعالیت گیرنده غشایی، فعالیت سیتوکین و ... درگیر بودند (جدول ۱). همچنین تحلیل اجزای سلولی این موتیف‌ها نشان داد که فعالیت این موتیف‌ها در اندامک، محدود به فضای بین سلولی، میتوکندری، سیتوزول و ... است. شناسایی نواحی پرومومتری، اولین گام در درک ساز و کارهای تنظیم بیان زن است (Rani et al., 2007). پرومومترها نواحی عملکردی حاوی عناصر تنظیمی پیچیده برای تعیین شروع رونویسی زن‌ها هستند (Abeel et al., 2008). به منظور یافتن عناصر تنظیمی سیس واقع شده در نواحی پرومومتری DEG ها و یافتن آن که آیا زن‌های دارای بیان افتراقی در این مطالعه

هیستون در سرکوب و فعال‌سازی رونویسی نقش دارد (Berger, 2002; Wang and Zhu, 2008 and Black *et al.*, 2012). به عبارت دیگر، متیلاسیون DNA شروع رونویسی را به وسیله مداخله مستقیم با اتصال فعال کننده-های رونویسی یا به طور غیرمستقیم با اتصال پروتئین‌ها سرکوب می‌نماید (Meyer *et al.*, 1994).

و سبب تنظیم تولید سیتوکین و فعال شدن سلول‌های ایمنی می‌شوند (Fu and Blackshear, 2017). همچنین اتصال پروتئین‌های انگشت روی  $C_2H_2$  به DNA به اغلب به جذب پروتئین‌های دیگر کمک نموده و سبب تنظیم تغییرات اپی ژنیک شامل تغییرات پس از ترجمه هیستون‌ها می‌شود. بسته به مکان‌های متیله شده، متیلاسیون

جدول ۱- موتیف‌های حفاظت شده شناسایی شده در نواحی پرموتری DEG‌ها به وسیله تجزیه MEME

Table 1. Conserved motif discovered in promoter region of DEGs with MEME analysis

Motif LOGO	E-value	Width	Significant GO term identified by GOMO
Motif 1	4/4e-334	50	Biological process: positive regulation of transcription Molecular function: transcription factor activity Molecular function: ATP binding Molecular function: calmodulin binding Cellular component: cytosol
Motif 2	2/7e-077	29	Biological process: regulation of gene expression Molecular function: olfactory receptor activity Cellular component: mitochondrion
Motif 3	2/9e-028	50	Biological process: defense response Biological process: positive regulation of immune response Cellular component: extracellular space
Motif 4	9/0e-018	21	Biological process: cellular calcium ion homeostasis Cellular component: integral to plasma membrane
Motif 5	4/2e-010	29	Biological process: wound healing, spreading of epidermal cells Molecular function: tyrosine kinase signaling pathway
Motif 6	8/7e-007	29	Biological process: positive regulation of production of molecular mediator of immune response Molecular function: cytokine activity
Motif 7	1/7e-004	48	Biological process: response to stimulus Biological process: regulation of T cell activation
Motif 8	7/8e-005	50	Biological process: regulation of T helper 1 type immune response Cellular component: external side of plasma membrane

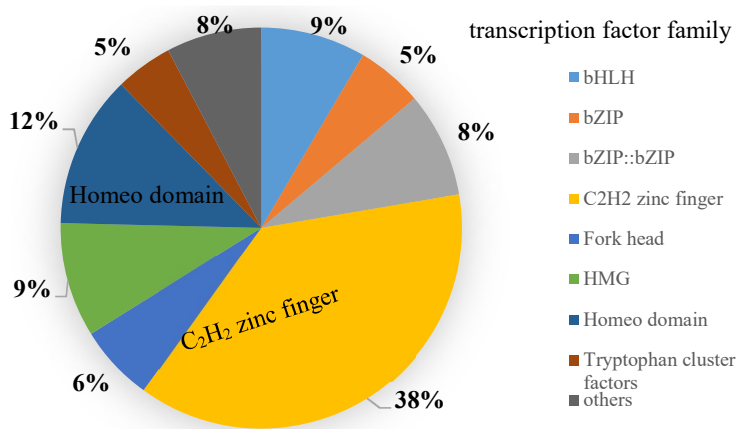


Fig. 3. Transcription factor families available in significant and high correlated motifs with available motifs in DEGs

شکل ۳- خانواده عوامل رونویسی موجود در موتیف‌های دارای همبستگی بالا و معنی‌دار با موتیف‌های موجود در زن‌های دارای بیان افتراق

حساس، افزایش بیان یافته است. در حیوانات، آلبومین ۳۵ تا ۵۰ درصد کل پروتئین سرم را تشکیل می‌دهد. آلبومین نقش مهمی در حفظ هموستانزی و حمل و نقل مواد ایفا می‌کند و به عنوان حذف کننده رادیکال‌های آزاد عمل می‌کند (Hankins, 2006). ثابت شده است که عفونت گوارشی می‌تواند منجر به هیپوپروتئینمی شود. بنابراین، سطح پروتئین کل پلاسمما (dL/g) ممکن است فراسنجه مهمی در ارزیابی وضعیت مقاومت و انتخاب نژادهای مقاوم باشد (Saddiqi, 2010). نشان داده شده است که گوسفند حساس Corriedale دارای بار انگل بیشتر، هیپوپروتئینمی Crioula و هیپوآلبومینمی است، در حالی‌که، حیوانات (مقاله) تنها کاهش جزئی در غلظت کل پروتئین سرم و آلبومین داشتند (Bricarello *et al.*, 2004). کاهش غلظت پروتئین کل معمولاً نتیجه کاهش آلبومین و یا گاهی اوقات، کاهش گاما گلوبولین‌ها است. این گزارشات مهر تأییدی بر یافته به دست آمده از این مطالعه در ارتباط با افزایش بیان زن کد کننده آلبومین در نژاد مقاوم است.

همچنین از لحاظ اصطلاحات فرآیندهای زیستی هستی-شناسی زن مشخص شد این زن در تنظیم منفی آپوپتوسیس نقش ایفا می‌کند. آپوپتوسیس به وسیله انواع مختلفی از محرك‌ها از جمله عفونت، تشعشع و غیره آغاز می‌شود. افزایش آپوپتوسیس ممکن است به انتشار پاتوزن-های داخل سلولی کمک کند و یا باعث سرکوب سیستم ایمنی شود. در نتیجه ورود عوامل بیماری‌زا به سلول‌های

ساخت شبکه *PPI* و تجزیه کلاستر؛ تجزیه STRING برای کشف و به دست آوردن اطلاعات و شبکه تعاملی بین DEG‌ها در پاسخ به انگل *heamonchus contortus* مورد استفاده قرار گرفت. در شبکهنهایی، ۱۲۸۳ گره و ۱۰۳۱۶ لبه شامل ۱۱۳۷ زن upregulate و ۲۵۱ زن downregulate وجود داشت. زن‌های هاب به دلیل موقعیت مرکزی خود در شبکه، نقش تعیین کننده‌ای در تنظیم بیان زن ایفا می‌کنند. زن‌های هاب دارای امتیاز بالای به دست CytoHubba آمده از الگوریتم stress closeness و پلاگین *Cbl proto-*, *CD4*, *ALB*, *FN1*, *CBL oncogene Myb like*, *(HSP70 A* عضو ۵ *(HSPA5*), *MYSM1* SWIRM and MPN domains1 *PLCG2 gamma* ۲ و ... بودند. هستی‌شناسی زن‌های هاب به دست آمده نشان داد که این زن‌ها در مسیرهای فرآیندهای زیستی مانند تنظیم منفی مرگ برنامه‌ریزی شده سلول، تنظیم مثبت بیان زن، مسیر سیگنالینگ رسپتور سلول B، پاسخ ایمنی ذاتی، ترجمه، اتوفسفریلاسون پروتئینی، پاسخهای التهابی، مسیر سیگنالینگ G-پروتئین متعلق به رسپتور و ... غنی شدند. در این مطالعه، زن آلبومین (ALB) به عنوان زن هاب با رتبه یک شناسایی شد. بررسی لگاریتم Fold change این زن نشان داد که این زن هاب در نژاد مقاوم نسبت به نژاد

اینترلوکین-۴ عمل می‌کند (Van Panhuys *et al.*, 2011). همچنین، با استفاده از پلاگین MCL cluster ۱۰ کلسترولیدی با حداقل ۱۵ گره از کل شبکه، اسکرین گرفته شد. ژن‌ها در کلسترول ۱ عمدها در مسیر ترجمه، غنی شدند. BP ژن‌ها در کلسترول ۲ به طور ویژه در مسیر تنظیم مشبت سیتوکینز و در کلسترول ۳ در مسیر پاسخ ایمنی، غنی شدند (شکل ۴).

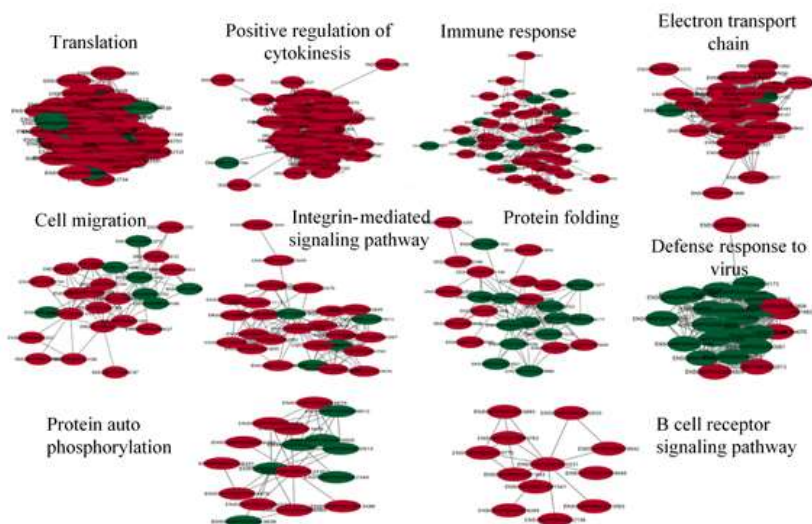
تجسم *circos* موقعیت *DEG*‌ها: با توجه به ژنوم گوسفند و وجود ۲۷ جفت کروموزوم، بررسی جهت یافتن رابطه معنی‌دار بین *DEG*‌ها و موقعیت ژنومی آن‌ها صورت گرفت. ابتدا با توجه به اسمبلی خوانش‌ها با ژنوم مرجع، موقعیت *Circos* این رونوشت‌ها روی کروموزوم‌ها مشخص شد و از plot برای نمایش موقعیت ژنومی *DEG*‌های شناسایی شده در روی کروموزوم‌ها استفاده شد (شکل ۵). همان‌طور که در شکل ۵ نشان داده شده است، بیشترین تعداد *DEG*‌های شناخته شده در این مطالعه روی کروموزوم‌های ۱ و ۲ قرار داشتند که با توجه به طول کروموزوم، این تفاوت معنی‌دار نبود. در مجموع، این تجزیه نشان می‌دهد که کل کروموزوم‌ها در پاسخ به انگل *H. contortus* نقش دارند و ژنوم، ساز و کار پیچیده‌ای در مقابله با این چالش دارد.

### نتیجه‌گیری کلی

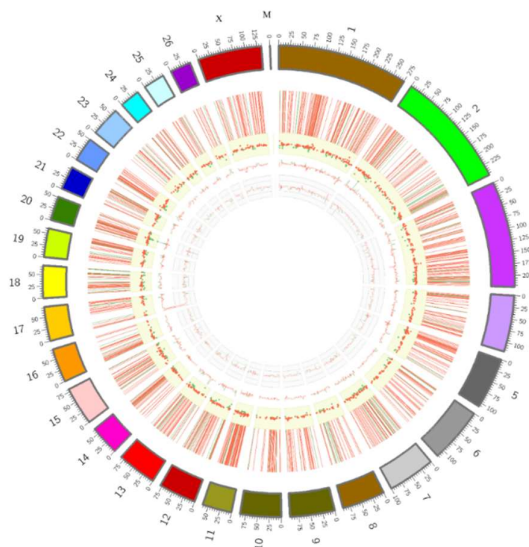
متاآنالیز روشی قدرتمند برای تشخیص ژن‌هایی است که تأثیر کوچک اما ثابت بر صفت مورد نظر دارند. جمع‌آوری اطلاعات مطالعات متعدد، همان‌طور که در متاآنالیز انجام می‌شود، به کشف دقیق‌تر این نوع ژن‌های کوچک اثر مؤثر کمک می‌نماید. داده‌های رونویسی بدست آمده از متاآنالیز در این مطالعه منجر به آشکارسازی فرآیند رونویسی و ژن‌های کاندید جالبی شد که می‌توانند به طور مؤثر برای افزایش مقاومت مورد هدف قرار گیرند. همچنین نتایج به‌دست آمده از تجزیه و تحلیل‌های پایین‌دستی از جمله هستی‌شناسی ژن (GO)، غنی‌سازی و تجزیه و تحلیل شبکه تعامل پروتئین-پروتئین در راستای انجام مطالعه *H. contortus* را روی ژن‌های دارای بیان افتراقی تحت عفونت متعددی مانند سوخت و ساز واحدهای یک کربنی، ترجمه، مسیر سیگنالینگ ریپتور سطح سلولی، پاسخ ایمنی و ژن‌های کلیدی پاسخ به عفونت ایجاد شده بود.

پستانداران، واکنش‌ها یا پاسخ‌های مختلفی از جمله آزادسازی سیتوکین‌ها، ترشح دفنسین‌ها، تولید رادیکال‌های آزاد و به راه افتادن آپوپتوسیس برانگیخته می‌شود. عوامل بیماری‌زا می‌توانند از راه فرآیندهای مختلفی که شامل ترشح مهارکننده‌های تولید پروتئین و پروتئین‌های تشکیل‌دهنده منافذ است، آپوپتوسیس را تحریک کنند. آن‌ها همچنین می‌توانند پروتئین‌های آپوپتوسیس مانند کاسپازها را فعال کنند و پروتئین‌های ضد آپوپتوسیس را غیرفعال کنند (Ntuli, 2015). بنابراین افزایش بیان این ژن در نزد مقاوم در مقایسه با نژاد حساس در پاسخ به انگل *Haemonchus contortus* با توجه به مطالب ذکر شده در بخش بالا، احتمالاً در راستای مقابله با انتشار انگل در درون سلول‌های میزبان بوده و اطلاعات ارزنده‌ای را در ارتباط با شناسایی پروتئین‌هایی که ممکن است نقش مهمی در ایجاد ایمنی ایفا کنند و/یا به عنوان نشانگرهای زیستی مقاومت به عفونت عمل کنند، فراهم می‌آورد.

یکی از ژن‌های دیگر شناسایی شده در پژوهش حاضر که ارتباط گستردگی با سایر ژن‌ها نشان داد، ژن CD4 بود. با توجه به نتایج به‌دست آمده از این تحقیق مشخص شد بیان این ژن در نزد مقاوم نسبت به نژاد حساس افزایش یافت. در زیست‌شناسی مولکولی، CD4 یک گلیکوپروتئین است که به عنوان کو-رپرسور برای رسپتور سلول T (TCR) عمل می‌کند. CD4 روی سطح سلول‌های ایمنی مانند سلول‌های T-helper، مونوکیت‌ها، ماکروفاژها و سلول‌های دندان‌پستانکی یافت می‌شود (Bernard and Boumsell, 1984). این گلیکوپروتئین غشایی دارای نقش اساسی در پاسخ ایمنی است و نقش‌های متعددی را در پاسخ به حملات خارجی و داخلی انجام می‌دهد. مطالعات متعددی اهمیت لنفوسیت‌های CD<sup>4+</sup> T را در ایمنی به عفونت نماد دستگاه گوارش گزارش کرده‌اند (Urban *et al.*, 1991; Gill *et al.*, 1993; Koyama *et al.*, 1995; Karanu *et al.*, 1997). در همین راستا مشخص شده است لنفوسیت‌های CD<sup>4+</sup> T نقش مهمی در ایجاد مقاومت در برابر نماتد Peña *et al.*, (2006) در گوسفند دارند (*Haemonchus contortus*) و پاسخ‌های لنفوسیتی بسیار بالاتر و معنی‌دارتری نسبت به آنتی ژن انگل در حیواناتی با مقاومت ژنتیکی به همونکوزیس گزارش شده است (Gill, 1994). در طول عفونت، سلول‌های CD<sup>4+</sup> T به عنوان منبع غالب تولید



شکل ۴- نمایش ۱۰ کلاستر کلیدی برتر از کل شبکه با استفاده از پلاگین MCL cluster plugin



شکل ۵- نمایش شماتیک موقعیت ژنومی DEG‌ها روی کروموزوم‌های گوسفند با استفاده از Circos plot. ژنوم به صورت دایره‌ای، کروموزوم‌های ۱ تا X را نشان می‌دهد. هر دایره از بیرون به داخل به ترتیب نشان‌دهنده تعداد کروموزوم، ژن‌های بیان شده به صورت افتراقی از راه نقشه حرارتی، نمودار پراکندگی، هیستوگرام و پلات خطی هستند. رنگ قرمز بیان‌گر ژن‌های با افزایش بیان و رنگ سبز بیان‌گر ژن‌های با کاهش بیان است.

## فهرست منابع

- Abeel T., Saeys Y., Rouze P. and Vande Peer Y. 2008. Pro SOM: Core promoter prediction based on unsupervised clustering of DNA physical profiles. *Bioinformatics*, 24: 24-31.
- Andersson L. 2012. How selective sweeps in domestic animals provide new insight into biological mechanisms. *Journal of Internal Medicine*, 271(1): 1-14.
- Andronicos N. M., Hunt P. and Windon R. 2010. Expression of genes in gastrointestinal and lymphatic tissues during parasite infection in sheep genetically resistant or susceptible to *Trichostrongylus colubriformis* and *Haemonchus contortus*. *International Journal for Parasitology*, 40: 417-429.
- Bailey T. L., Boden M., Buske F. A., Frith M., Grant C. E., Clementi L., Ren J., Li W. W. and Nobel W. S. 2009. MEME SUITE: tools for motif discovery and searching. *Nucleic Acids Research*, 37: 202-208.
- Bath G. F. 2014. The “BIG FIVE”-A South African perspective on sustainable holistic internal parasite management in sheep and goats. *Small Ruminant Research*, 118: 48-55.
- Benavides M. V., Sonstegard T. S., Kemp S., Mugambi J. M., Gibson J. P., Baker R. L., Hanotte O., Marshall K. and Tassell C. V. 2015. Identification of novel loci associated with gastrointestinal parasite resistance in a Red Maasai x Dorper backcross population. *PLoS One*, 1: e122797.
- Berger S. L. 2002. Histone modifications in transcriptional regulation. *Current Opinion in Genetics & Development*, 12: 142-148.
- Bernard A., Boumsell L. and Hill C. 1984. Joint report of the first international workshop on human leucocyte differentiation antigens by the investigators of the participating laboratories. In: Bernard A., Boumsell L. and Dausset J. (Eds) *Leucocyte typing: human leucocyte differentiation antigens detected by monoclonal antibodies: specification, classification, nomenclature*. Berlin, Springer. Pp. 45-48.
- Bionaz M., Chen S., Khan M. J. and Loor J. J. 2013. Functional role of PPARs in ruminants: potential targets for fine-tuning metabolism during growth and lactation. *PPAR Research*, 1: e684159.
- Black J. C., Van Rechem C. and Whetstone J. R. 2012. Histone lysine methylation dynamics: establishment, regulation, and biological impact. *Molecular Cell*, 48: 491-507.
- Brayer K. J. and Segal D. J. 2008. Keep your fingers off my DNA: protein-protein interactions mediated by C<sub>2</sub>H<sub>2</sub> zinc finger domains. *Cell Biochemistry and Biophysics*, 50: 111-131.
- Bricarello P. A., Gennari S. M., Oliveira-Sequeira T. C., Vaz C. M., de Goncalves I. G. and Eschevarria F.A. 2004. Worm burden and immunological responses in Corriedale and Crioula Lanada sheep following natural infection with *Haemonchus contortus*. *Small Ruminant Research*, 51: 75-83.
- Buske F. A., Boden M., Bauer D. C. and Bailey T. L. 2010. Assigning roles to DNA regulatory motifs using comparative genomics. *Bioinformatics*, 26: 860-866.
- Cáñovas A., Reverter A., DeAtley K. L., Ashley R. L., Colgrave M. L., Fortes M. R. S., Islas-Trejo A., Lehner S., Porto-Neto L., Rincon G., Silver G. A., Snelling W. M., Medrano J. F. and Thomas M. G. 2014. Multi-tissue omics analyses reveal molecular regulatory networks for puberty in composite beef cattle. *PLoS One*, 9: e102551.
- Chagas A., Domingues L. F., Gaínza Y. A., Barioni-Junior W., Esteves S. N. and Niciura S. C. 2016. Target selected treatment with levamisole to control the development of AR in a sheep flock. *Parasitology Research*, 115: 1131-1139.
- Chin C., Chen S. H., Wu H. H., Ho C., Ko M. T. and Lin C. 2014. CytoHubba: identifying hub objects and sub-networks from complex interactome. *BMC System Biology*, 8: e11.
- Diez-Tascon C., Keane O. M., Wilson T., Zadissa A., Hyndman D., Baird D. B., McEwan J. C. and Crawford A. M. 2005. Microarray analysis of selection lines from outbred populations to identify genes involved with nematode parasite resistance in sheep. *Physiological Genomics*, 21: 59-69.
- Dolinská M., Ivanisinova O., Konigová A. and Váradý M. 2014. Anthelmintic resistance in sheep gastrointestinal nematodes in Slovakia detected by in-vitro methods. *BMC Veterinary Research*, 10: e233.
- Fu M. and Blackshear P. J. 2017. RNA-binding proteins in immune regulation: A focus on CCCH zinc finger proteins. *Nature Reviews Immunology*, 17: 130-143.
- Gasser R., Schwarz E., Korhonen P. and Young N. 2016. Understanding *Haemonchus contortus* better through genomics and transcriptomics. *Advances in Parasitology*, 93: 519-567.
- Geurden T., Hoste H., Jacquiet P., Traversa D., Sotiraki S., Regalbono A. F., Tzanidakis N., Kostopoulou D., Gaillac C., Privat S., Giangaspero A., Zanardello C., Noe L., Vanimisetti B. and Bartram D. 2014. Anthelmintic resistance and multidrug resistance in sheep gastro-intestinal nematodes in France, Greece and Italy. *Veterinary Parasitology*, 201: 59-66.
- Gill H. S. 1994. Cell-mediated immunity in Merino lambs with genetic resistance to *Haemonchus contortus*. *International Journal for Parasitology*, 24: 749-756.
- Gill H. S., Watson D. L. and Brandon M. R. 1993. Monoclonal antibody to CD<sup>4+</sup> T cells abrogates genetic resistance to *Haemonchus contortus* in sheep. *The Journal of Immunology*, 78: 43-49.

- Gossner A. G., Wilkie H., Joshi A. and Hopkins J. 2013. Exploring the abomasal lymph node transcriptome for genes associated with resistance to the sheep nematode *Teladorsagia circumcincta*. Journal of Veterinary Parasitology, 44: 1-13.
- Gross B., Pawlak M., Lefebvre P. and Staels B. 2017. PPARs in obesity-induced T<sub>2</sub>DM, dyslipidaemia and NAFLD. Nature Reviews Endocrinology, 13: 36-49.
- Hankins J. 2006. The role of albumin in fluid and electrolyte balance. Journal of Infusion Nursing, 29: 260-265.
- Hilger D., Masureel M. and Kobilka B. K. 2018. Structure and dynamics of GPCR signaling complexes. Nature Structural & Molecular Biology, 25: 4-12.
- Huang D. W., Sherman B. T. and Lempicki R. A. 2009. Bioinformatics enrichment tools: Paths toward the comprehensive functional analysis of large gene lists. Nucleic Acids Research, 37: 1-13.
- Karanu F. N., McGuire T. C., Davis W. C., Besser T. E. and Jasmer D. P. 1997. CD<sup>4+</sup> T lymphocytes contribute to protective immunity induced in sheep and goats by *Haemonchus contortus* gut antigens. Parasite Immunology, 19: 435-445.
- Keane O. M., Dodds K. G., Crawford A. M. and McEwan J. C. 2007. Transcriptional profiling of *Ovis aries* identifies Ovar-DQA<sub>1</sub> allele frequency differences between nematode-resistant and susceptible selection lines. Physiological Genomics, 30: 253-261.
- Khan A., Fornes O., Stigliani A., Gheorghe M., Castro-Mondragon J. A., Lee R. V., Bessy A., Cheneby J., Kulkarni S. R., Tan G., Baranasic D., Arenillas D. J., Sandelin A., Vandepoele K., Lenhard B., Ballester B., Wasserman W., Parcy F. and Mathelier A. 2017. JASPAR 2018: update of the open-access database of transcription factor binding profiles and its web framework. Nucleic Acids Research, 46: 260-266.
- Knight P. A., Griffith S. E., Pemberton A. D., Pate J. M., Guarneri L., Anderson K., Talbot R. T., Smith S., Waddington D., Fell M., Archibald A. L., Burgess S. T., Smith D. W., Miller H. R. and Morrison I. W. 2011. Novel gene expression responses in the ovine abomasal mucosa to infection with the gastric nematode *Teladorsagia circumcincta*. Veterinary Research, 42: 78-100.
- Koyama K., Tamauchi H. and Ito Y. 1995. The role of CD<sup>4+</sup> and CD<sup>8+</sup> T cells in protective immunity to the murine nematode parasite *Trichuris muris*. Parasite Immunology, 17: 161-165.
- Meyer P., Niedenh I. and Ten Lohuis M. 1994. Evidence for cytosine methylation of non-symmetrical sequences in transgenic petunia hybrida. The Embo Journal, 13: 2084-2088.
- Miller J. E., Bahirathan M., Lemarie S., Hembry F. G., Kearney M. T. and Barras S. R. 1998. Epidemiology of gastrointestinal nematode parasitism in Suffolk and Gulf Coast native sheep with special emphasis on relative susceptibility to *Haemonchus contortus* infection. Veterinary Parasitology, 74: 55-74.
- Mpetile Z., Cloete S., Kruger A. and Dzama K. 2015. Environmental and genetic factors affecting faecal worm egg counts in Merinos divergently selected for reproduction. Journal of Animal Science, 45: 510-520.
- Ntuli T. M. 2015. Cell death- autophagy, apoptosis and necrosis (Ed.): Apoptosis and infections. South Africa: IntechOpen. P. 446.
- Peña M. T., Miller J. E. and Horohov D. W. 2006. Effect of CD<sup>4+</sup> T lymphocyte depletion on resistance of Gulf Coast native lambs to *Haemonchus contortus* infection. Veterinary Parasitology, 138: 240-246.
- Rani T. S., Bhavani S. D. and Bapi R. S. 2007. Analysis of *E. coli* promoter recognition problem in di-nucleotide feature space. Bioinformatics, 23: 582-588.
- Rowe A., Gondro C., Emery D. and Sangster N. 2009. Sequential microarray to identify timing of molecular responses to *Haemonchus contortus* infection in sheep. Veterinary Parasitology, 161: 76-87.
- Saddiqi H. A. 2010. Evaluation of some indigenous breeds of sheep for natural resistance *Haemonchus contortus* infection. Ph.D. Dissertation, Faisalabad University, Pakistan.
- Salehinasaab M., Rahimi Mianji Gh., Ebrahimie E. and Ghafouri S. A. 2018. Identification of differentially expressed genes in H5N1 infected chickens using meta-analysis of DNA microarray datasets. Animal Production Research, 7(3): 13-23. (In Persian).
- Shannon P., Markiel A., Ozier O., Baliga N. S., Wang J. T., Ramage D., Amin N., Schwikowski B. and Ideker T. 2003. Cytoscape: a software environment for integrated models of biomolecular interaction networks. Genome Research, 13: 2498-2504.
- Szklarczyk D., Gable A. L., Lyon D. and Junge A. 2018. STRING v11: protein-protein association networks with increased coverage, supporting functional discovery in genome-wide experimental datasets. Nucleic Acids Research, 47: 607-613.
- Ulloa A., Zarinan T., Castillo J. A. and Maravillas J. L. 2017. Reference module in neuroscience and biobehavioral psychology. Elsevier SciTech Connect. Pp. 1-10.
- Urban J. F., Katona I. M. and Finkelman F. D. 1991. *Heligmosomoides polygyrus*: CD<sup>4+</sup> but not CD<sup>8+</sup> T cells regulate the IgE response and protective immunity to mice. Experimental Parasitology, 73: 500-511.
- Van Panhuys N., Prout M., Forbes E., Min B., Paul W. E. and Gros G. L. 2011. Basophils are the major producers of IL-4 during primary helminth infection. The Journal of Immunology, 186: 2719-2728.

- Vijayasarathi M., Sreekumar C., Venkataraman R. and Raman M. 2016. Influence of sustained deworming pressure on the AR status in strongyles of sheep under field conditions. *Tropical Animal Health and Production*, 48: 55-62.
- Wang X. and Zhu W. G. 2008. Advances in histone methyltransferases and histone demethylases. *Journal of Cancer*, 27: 1018-1025.
- Zhang Z., Burch P. E., Cooney A. J., Lanz R. B., Pereira F. A., Wu J., Gibbs R. A., Weinstock G. and Wheeler D. A. 2004. Genomic analysis of the nuclear receptor family: new insights into structure, regulation, and evolution from the rat genome. *Genome Research*, 14: 580-590.
- Zhao F., Ilbert M., Varadan R., Cremers C. M., Hoyos B., Acin-Perez R., Vinogradov V., Cowburn D., Jakob U. and Hammerling U. 2010. Are zinc-finger domains of protein kinase C dynamic structures that unfold by lipid or redox activation? *Antioxidants & Redox Signaling*, 14: 757-766.